

Рис. 5

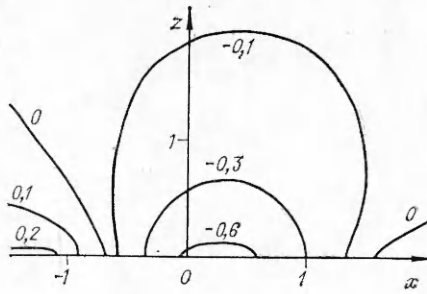


Рис. 6

Численные решения здесь получены для неровности  $f(x, z) = \exp(-x^2 - z^2)$ . Распределения возмущения давления  $P(x, 0)$  повторяют в принципе кривые, представленные на рис. 1, т. е. здесь также возникает передача возмущений вверх по потоку.

На рис. 5 и 6 представлены изобары для неровностей предельного типа  $b_1 \ll c_1$  и  $b_1 \gg c_1$  соответственно. В первом случае выпуклая неровность в дозвуковом потоке вызывает разрежение во всем поле течения. В случае непшироких неровностей распространение возмущений давления носит сложный эллиптический характер, аналогично представленному на рис. 6.

#### ЛИТЕРАТУРА

- Боголепов В. В. Общая схема режимов пространственных локальных течений // ПМТФ.— 1986.— № 6.
- Боголепов В. В., Нейланд В. Я. Обтекание малых неровностей на поверхности тела сверхзвуковым потоком вязкого газа // Тр. ЦАГИ.— 1971.— Вып. 1363.
- Smith F. T. A three dimensional boundary layer separation // J. Fluid Mech.— 1980.— V. 99.— P. 1.
- Боголепов В. В., Липатов И. И. Исследование пространственных локальных ламинарных течений // ПМТФ.— 1985.— № 1.
- Боголепов В. В. Исследование предельных решений для случая обтекания малых неровностей на поверхности тела сверхзвуковым потоком вязкого газа // Тр. ЦАГИ.— 1977.— Вып. 1812.

Поступила 28/IV 1986 г.

УДК 532.517.4

#### О РАСПРЕДЕЛЕНИИ ХАРАКТЕРИСТИК ТУРБУЛЕНТНОСТИ В КАНАЛЕ С ИНТЕНСИВНЫМ ВДУВОМ

Ф. Ф. Спиридовонов  
(Бийск)

Вопросам распределения характеристик течений в каналах со вдувом посвящено достаточно большое число работ (см., например, [1]). Теоретический анализ соответствующего решения уравнений Навье—Стокса для ламинарного режима течения впервые проведен в [2]. Дальнейшие экспериментальные исследования [3—7] показали, что и при турбулентном режиме течения профили продольной и поперечной компонент вектора скорости хорошо описываются предельными (бесконечно большое число Рейнольдса вдува) зависимостями из [2]. Этот эффект, свидетельствующий о высокой устойчивости течения, может быть объяснен ламинаризацией потока при его разгоне вследствие распределенного вдува в канал [8]. Применение модели Прандтля для описания распределения характеристик турбулентности в канале со вдувом [9] приводит к зависимостям, не согласующимся с указанным фактом.

В данной работе предпринята попытка построения приближенной полуэмпирической теории для описания характеристик течения, основанной на  $(k - \varepsilon)$ -модели турбулентности. Путем численного интегрирования уравнений гидродинамики с  $(k - \varepsilon)$ -моделью турбулентности проведены расчеты параметров течения в широком диапазоне изменения числа Рейнольдса вдува. Результаты расчетов хорошо согласуются с экспериментальными данными.

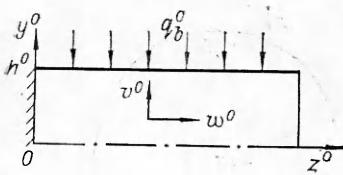


Рис. 1

условия в безразмерной форме принимают вид

$$(1.1) \quad w \frac{\partial w}{\partial z} + v \frac{\partial w}{\partial y} = - \frac{\partial p}{\partial z} + \frac{\partial}{\partial z} \left( \frac{1}{Re} \frac{\partial w}{\partial z} \right) + \frac{\partial}{\partial y} \left( \frac{1}{Re} \frac{\partial w}{\partial y} \right),$$

$$w \frac{\partial v}{\partial z} + v \frac{\partial v}{\partial y} = - \frac{\partial p}{\partial y} + \frac{\partial}{\partial y} \left( \frac{1}{Re} \frac{\partial v}{\partial z} \right) + \frac{\partial}{\partial y} \left( \frac{1}{Re} \frac{\partial v}{\partial y} \right), \quad \frac{\partial w}{\partial z} + \frac{\partial v}{\partial y} = 0,$$

где  $w, v$  — осредненные значения компонент вектора скорости  $\mathbf{q}$  вдоль осей  $z$  и  $y$  (см. рис. 1);

$$(1.2) \quad y = 0: v = 0 = \partial w / \partial y; \quad y = 1: v = -1, w = 0; \quad z = 0: w = v = 0.$$

На правой границе условия не ставятся, поскольку исследуется автомодельное решение системы (1.1). В качестве масштабов длины, скорости и давления в (1.1), (1.2) используются:  $h^0$  — полуширина канала,  $q_b^0$  и  $\rho^0 q_b^{02}$ ,  $Re = \rho^0 q_b^0 h^0 / \mu^0$  — характеристическое для задачи число Рейнольдса вдува,  $\mu^0$  — вязкость жидкости ( $\mu^0 = \mu_l^0 + \mu_t^0$ ,  $\mu_l^0$  и  $\mu_t^0$  — ламинарная и турбулентная составляющие).

Известно [2], что в предельном случае  $Re \rightarrow \infty$  решение задачи (1.1), (1.2) имеет вид

$$(1.3) \quad w = \frac{\pi}{2} z \cos \frac{\pi}{2} y, \quad v = -\sin \frac{\pi}{2} y,$$

$$p = p_0 - \left( \frac{\pi^2}{4} z^2 + v^2 \right) / 2.$$

В действительности, как показано в [10], при  $Re \geq 100$  (интенсивный вдув) решение (1.3) достаточно хорошо аппроксимирует точное решение задачи (1.1), (1.2). Экспериментально этот факт подтвержден в [3—7].

Поставим задачу о распределении характеристик турбулентности в рассматриваемом течении при  $Re \rightarrow \infty$ , основываясь на использовании ( $k - \varepsilon$ )-модели турбулентности [11] и зависимостях (1.3). Общее уравнение переноса в этом случае в безразмерной форме запишем как

$$(1.4) \quad \frac{\partial}{\partial z} (w\varphi) + \frac{\partial}{\partial y} (v\varphi) - \left[ \frac{\partial}{\partial z} \left( \Gamma_\varphi \frac{\partial \varphi}{\partial z} \right) + \frac{\partial}{\partial y} \left( \Gamma_\varphi \frac{\partial \varphi}{\partial y} \right) \right] = S_\varphi,$$

где

$$(1.5) \quad S_\varphi = \begin{cases} G - \varepsilon, & \varphi \equiv k, \\ c_1 G \frac{\varepsilon}{k} - c_2 \frac{\varepsilon^2}{k}, & \varphi \equiv \varepsilon, \end{cases}$$

$$G = c_\mu \frac{k^2}{\varepsilon} \left\{ 2 \left[ \left( \frac{\partial w}{\partial z} \right)^2 + \left( \frac{\partial v}{\partial y} \right)^2 \right] + \left( \frac{\partial w}{\partial y} + \frac{\partial v}{\partial z} \right)^2 \right\},$$

$$\Gamma_\varphi = c_\mu k^2 / (\varepsilon \sigma_\varphi), \quad \sigma_k = 1, \quad \sigma_\varepsilon = 1,3.$$

В качестве масштабов кинетической энергии турбулентности  $k$  и скорости ее диссипации  $\varepsilon$  выбраны  $q_b^{02}$  и  $h^0/q_b^{02}$  соответственно. Для констант приняты стандартные значения:  $c_\mu = 0,09$ ,  $c_1 = 1,44$ ,  $c_2 = 1,92$ . Предполагая, что вблизи стенки, через которую осуществляется интенсивный вдув, конвективные члены в системе (1.4) доминируют над диффузионными и изменение характеристик по нормали к стенке происходит гораздо более интенсивно, чем вдоль нее ( $\partial \varphi / \partial z \ll \partial \varphi / \partial y$ ), после незначительных пре-

образований из системы (1.4) получим

$$(1.6) \quad \begin{aligned} \frac{k^2}{\varepsilon v} \frac{\partial}{\partial y} (kv) &= c_\mu \left( \frac{k^2}{\varepsilon} \right)^2 \frac{g}{v} - \frac{k^2}{v}, \\ \frac{k^3}{\varepsilon^2 v} \frac{\partial}{\partial y} (\varepsilon v) &= c_1 c_\mu \left( \frac{k^2}{\varepsilon} \right)^2 \frac{g}{v} - c_2 \frac{k^2}{v} \quad (g = \varepsilon G / (c_\mu k^2)). \end{aligned}$$

Вычитая из первого уравнения системы (1.6) второе и перегруппировывая члены, приходим к соотношению

$$(1.7) \quad (kv)^{c_2} \frac{\partial}{\partial y} \left[ \frac{\varepsilon v}{(kv)^{c_2}} \right] = -ckvf;$$

$$(1.8) \quad c = c_\mu (c_2 - c_1), \quad f = g/v.$$

Выражение (1.7), определяющее взаимосвязь между переменными  $k$  и  $\varepsilon$  при известных функциях  $v = v(z, y)$  и  $f = f(z, y)$ , может рассматриваться как нелинейное дифференциальное уравнение в частных производных, если имеется информация о поведении любой из указанных переменных. К сожалению, в данном случае такая информация в аналитическом виде отсутствует. Однако в первом приближении она может быть получена следующим образом. Пользуясь некоторым допустимым произволом при выборе констант модели турбулентности при описании конкретных классов течений, положим  $c_2 = 1$ . Это позволяет перейти от (1.7) к модельному уравнению

$$(1.9) \quad \frac{\partial}{\partial y} \left( \frac{\varepsilon}{k} \right) = -cf,$$

где величина  $c$  скорректирована на новое значение  $c_2$  согласно первому из соотношений (1.8). Уравнение (1.9) формально можно проинтегрировать по  $y$ , что приводит к

$$(1.10) \quad \varepsilon = ckF(z, y);$$

$$(1.11) \quad F(z, y) = \int_y^1 f(z, y_1) dy_1.$$

При интегрировании полагалось  $(\varepsilon/k) = 0$  при  $y = 1$ . Теперь из первого уравнения системы (1.6) нетрудно получить соотношение  $\frac{\partial}{\partial y} \left[ \ln \left( \frac{kv}{F^{c_\mu/c}} \right) \right] = -cF/v$ , интегрирование которого приводит к выражению для кинетической энергии турбулентности

$$(1.12) \quad k = \alpha(z) \frac{F^{-c_\mu/c}}{v} \exp(-c\Phi), \quad \Phi = \int_y^1 \frac{F(z, y_1)}{v(z, y_1)} dy_1$$

$(\alpha(z) — произвольная функция интегрирования).$

С учетом (1.12) вместо (1.10) запишем

$$(1.13) \quad \varepsilon = -c\alpha(z) \frac{F^{c_\mu/c+1}}{v} \exp(-c\Phi).$$

Отметим, что выражение для функции  $\alpha = \alpha(z)$  нельзя найти в рамках данной теории, однако в принципе  $\alpha(z)$  может быть определена согласованием теории с известными экспериментальными данными.

2. Воспользуемся решением (1.3) для получения распределения  $k$  и  $\varepsilon$  в рассматриваемом течении. Оценка членов в выражении для  $G$  в (1.5) приводит к виду функции  $g$ :  $g \approx \left( \frac{\partial w}{\partial y} \right)^2$ . Следовательно,  $f = -\left( \frac{\pi}{2} \right)^4 \cdot z^2 \sin \frac{\pi}{2} y$ . Интегрированием этого выражения из (1.11) находим

$$(2.1) \quad F = \left( \frac{\pi}{2} \right)^3 z^2 \cos \frac{\pi}{2} y.$$

Дальнейшее интегрирование приводит к

$$(2.2) \quad \Phi = \ln \left( \sin \frac{\pi}{2} y \right)^{\beta(z)}.$$

Значит, вместо выражений (1.12), (1.13) с учетом (2.1), (2.2) имеем

$$(2.3) \quad k = -\alpha(z) \left( \frac{\pi}{2} \right)^2 W^4 u^2 V^{\gamma(z)};$$

$$(2.4) \quad \varepsilon = c \alpha(z) \left( \frac{\pi}{2} \right)^3 W^6 u^3 V^{\gamma(z)}.$$

Кроме того, для турбулентной кинетической вязкости  $v_t = c_\mu k^2 / \varepsilon$  с учетом этих зависимостей получаем выражение

$$(2.5) \quad v_t = \frac{c_\mu}{c} \alpha(z) \frac{\pi}{2} W^2 u V^{\delta(z)}.$$

Здесь  $W = \frac{\pi}{2} z$  — максимальная в сечении канала продольная скорость;  $u = \cos \frac{\pi}{2} y$  — профиль продольной скорости;  $V = |v| = \sin \frac{\pi}{2} y$  — модуль профиля поперечной скорости;  $\beta(z) = W^2$ ;  $\gamma(z) = -(cW^2 + 1)$ .

Согласно одному из принятых допущений,  $W \gg 1$ . Учитывая, что в качестве модельного значения принято  $c_2 = 1$ , изменим знак у коэффициента  $c$ , вернувшись к исходному значению  $c_2 = 1,92$ . Такая корректировка практически не изменяет самой величины коэффициента  $c = c_\mu(c_2 - c_1)$ . Тогда вместо (2.3)–(2.5) запишем

$$(2.6) \quad k = -\alpha(z) \left( \frac{\pi}{2} \right)^2 W^4 u^2 V^{\delta(z)};$$

$$(2.7) \quad \varepsilon = c \alpha(z) \left( \frac{\pi}{2} \right)^3 W^6 u^3 V^{\delta(z)};$$

$$(2.8) \quad v_t = \frac{c_\mu}{c} \alpha(z) \frac{\pi}{2} W^2 u V^{\delta(z)}, \quad \delta(z) = c(W^2 - 1).$$

Для определения зависимости  $\alpha = \alpha(z)$  воспользуемся наиболее полными экспериментальными данными [7, 8]. Рассмотрим максимальный безразмерный уровень пульсаций скорости, определяемый по соотношению (2.6):

$$(2.9) \quad k_m^{1/2} = \frac{\pi}{2} W^2 V^{\delta(z)/2} \alpha(y_m) V^{\delta(z)/2},$$

где  $y_m$  — расстояние от плоскости симметрии канала до экстремума функции  $k_m^{1/2}(y, z)$ .

Поскольку из условия экстремума  $(\partial k^{1/2} / \partial y)_{y=y_m} = 0$  следует  $y_m = \frac{2}{\pi} \operatorname{arctg} [\sqrt{(cW^2 - 1)/2}]$  или с учетом того, что  $W \gg 1$ ,

$$(2.10) \quad y_m \approx \frac{2}{\pi} \operatorname{arctg} (\sqrt{c/2} W),$$

то, учитывая (2.10), для  $k_m^{1/2}$  получаем вместо (2.9) упрощенное выражение

$$(2.11) \quad k_m^{1/2} = \frac{\pi}{2} W V^{\delta(z)/2} \alpha(z) / c.$$

Анализ результатов обработки экспериментальных данных из [7, 8] показывает, что

$$(2.12) \quad k_m^{1/2} \approx 0,05 W.$$

Сравнение зависимостей (2.11) и (2.12) приводит к  $\alpha = \text{const} = -\frac{2c}{\pi^2} \cdot 10^{-2}$ .

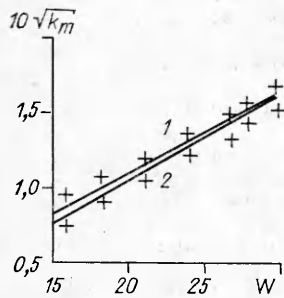


Рис. 2

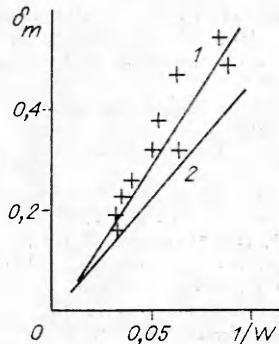


Рис. 3

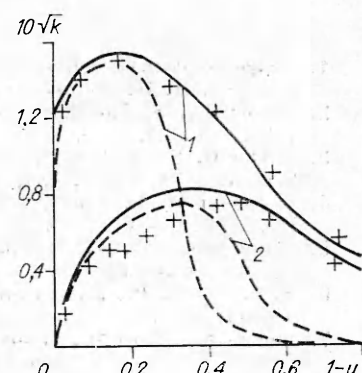


Рис. 4

На рис. 2, 3 представлены результаты расчета зависимостей  $k_m^{1/2} = f_1(W)$  и  $\delta_m = f_2(W)$  (сплошные линии) с использованием полученного значения  $\alpha$  (линия 2). Здесь  $\delta_m = 1 - y_m$ , крестики — экспериментальные результаты. Видно удовлетворительное соответствие теоретической зависимости экспериментальным данным для  $W > 30$ .

На рис. 4 построены теоретические профили энергии турбулентности (штриховые линии) в двух сечениях канала:  $z = 19,3$  и  $10$  (линии 1 и 2), крестики — данные из [8]. Из графиков видно, что теоретические кривые удовлетворительно согласуются с экспериментальными результатами вблизи стенки канала ( $y = 1$ ) вплоть до экстремума величины  $k^{1/2}$ . При  $y \rightarrow 0$  результаты существенно различаются, что объясняется, видимо, грубостью теоретической модели: неучет диффузии, пренебрежение продольными градиентами переменных по сравнению с поперечными и т. д. Тем не менее модель качественно описывает эффект ламинаризации течения в канале со вдувом [8] и эволюцию профиля энергии турбулентности вниз по потоку: максимум  $k$  становится все более выраженным и перемещается к стенке канала.

3. Проведены численные расчеты параметров течения с использованием метода [12]. Уравнения гидродинамики в переменных функция тока — завихренность вместе с уравнениями стандартной ( $k - \varepsilon$ )-модели турбулентности [11] интегрировались численно при соответствующих граничных условиях в прямоугольной области (см. рис. 1) на неравномерных сетках от  $31 \times 21$  до  $51 \times 31$  на ЭЦВМ БЭСМ-6. Характерное число Рейнольдса изменялось в диапазоне  $100 \leq Re \leq 3000$ . Отмечена неустойчивость процесса вычислений величин  $k$  и  $\varepsilon$  в относительно длинных каналах. Предположительная причина этого — то обстоятельство, что модель [11] рассчитана на описание полностью развитых турбулентных течений. Поэтому в дальнейшем использовалась модифицированная форма ( $k - \varepsilon$ )-модели из [13], позволяющая учесть возможную ламинаризацию потока за счет его разгона вследствие распределенного массоподвода со стенок канала. В этом случае неустойчивость вычислительного процесса не наблюдалась. Профили компонент вектора скорости, полученные расчетом, хорошо согласуются с зависимостями (1.3). Для сравнения с опытными и теоретическими результатами расчетные зависимости  $k_m^{1/2} = k_m^{1/2}(W)$  и  $\delta_m = \delta_m(W)$  нанесены на рис. 2, 3 линиями 1. Расчетные профили  $k^{1/2} = k^{1/2}(y)$  представлены на рис. 4 (сплошные линии). Как видно из графиков, расчетные данные лучше согласуются с опытными, чем теоретические. Тем не менее представляется, что, несмотря на ограниченность предложенной теории, полученные аналитические зависимости (2.6)–(2.8) удовлетворительно описывают распределение характеристик турбулентности в пристенной зоне течения и могут применяться при построении гидродинамических моделей реальных процессов, например, типа рассмотренных в [7].

## ЛИТЕРАТУРА

1. Гидродинамика течения в пористых трубах и каналах со вдувом. Библиогр. указ. / Под ред. П. П. Луговского.— Новосибирск: ИТФ СО АН СССР, 1978.
2. Berman A. S. Laminar flow in channels with porous walls // J. Appl. Phys.— 1953.— V. 24, N 9.
3. Taylor G. Fluid flow in regions bounded by porous surfaces // Proc. Roy. Soc. Ser. A.— 1956.— V. 234, N 1199.
4. Wageman W. E., Guevara F. A. Fluid flow through a porous channel // Phys. Fluids.— 1960.— V. 3, N 6.
5. Свириденков А. А., Ягодкин В. И. О течении в начальных участках каналов с проницаемыми стенками // Изв. АН СССР. МЖГ.— 1976.— № 5.
6. Калинина С. В., Луговской П. П., Миронов Б. П. Гидродинамика течения в проницаемом канале с двухсторонним вдувом // ПМТФ.— 1981.— № 6.
7. Ямада К., Гото М., Исиакава И. Моделирование эрозионного горения в двигателях на твердом топливе // РТК.— 1976.— Т. 14, № 9.
8. Pennel W. T., Eckert E. R. G., Sparrow E. M. Laminarization of turbulent pipe flow by fluid injection // J. Fluid Mech.— 1972.— V. 52, N 3.
9. Yuan S. W. Turbulent flow in channel with porous wall // J. Math. Phys.— 1959.— V. 38, N 3.
10. Morduchow M. On laminar flow through a channel or tube with injection: application of method of averages // Quart. Appl. Math.— 1957.— V. 14, N 4.
11. Launder B. E., Spalding D. B. The numerical computation of turbulent flows // Comput. Meth. Appl. Mech. and Engng.— 1974.— V. 3, N 2.
12. Госмен А. Д., Пан В. М. и др. Численные методы исследования течений вязкой жидкости.— М.: Мир, 1972.
13. Лэм К., Бремхорст К. Модифицированная форма ( $k - \varepsilon$ )-модели для расчета приственной турбулентности // ТОИР.— 1981.— № 3.

Поступила 19/VI 1986 г.

УДК 533.6.011

## НЕСТАЦИОНАРНЫЙ ТЕПЛОПЕРЕНОС ПРИ ОТРАЖЕНИИ УДАРНОЙ ВОЛНЫ В УДАРНОЙ ТРУБЕ

B. P. Провоторов, B. B. Рябов

(Жуковский)

В последние годы ударные трубы нашли широкое применение при исследовании термо- и газодинамических процессов в высокотемпературных потоках и химической кинетики. В [1, 2] анализировалась возможность диагностики теплового пограничного слоя вблизи торца ударной трубы с целью установления зависимости теплопроводности высокотемпературного газа от температуры. Существует также принципиальная возможность использования данных по структуре течения за отраженной ударной волной (УВ) для изучения процессов теплопередачи к каталитически активной поверхности.

Основные преимущества метода, при котором используется отраженная УВ, следующие: 1) температура за отраженной УВ приблизительно вдвое больше, чем за падающей (по оценкам для совершенного газа); 2) газ за отраженной УВ практически покоится в лабораторной системе координат.

Существенные ограничения этого метода — в основном неоднородность термодинамического состояния рабочего газа и малые времена наблюдения ( $\sim 100$  мкс). Другие ограничения метода связаны с наличием вязкого пограничного слоя на боковой стенке: пространственная неоднородность параметров за падающей УВ, приводящая к зависимости параметров газа перед отраженной УВ от времени, сложный характер взаимодействия отраженной УВ с пограничным слоем на боковой стенке ударной трубы, искривленность падающей УВ. Подробные исследования влияния теплового пограничного слоя, образующегося на торцевой стенке, на движение отраженной УВ проведены в [3, 4].

Прежде чем перейти к непосредственному рассмотрению течения релаксирующего газа в тепловом пограничном слое у каталитической поверхности торца ударной трубы, необходимо тщательно проанализировать течение за отраженной УВ. Поле течения в этой области при наличии колебательной неравновесности в  $\text{CO}_2$  изучалось в [5, 6]. Количественные оценки влияния неравновесных химических реакций в кислороде на структуру течения за отраженной УВ приведены в [7, 8]. Основная цель этих исследований — установление взаимной связи между гидродинамикой и химическими процессами. При этом использовалась простая химическая модель. Проведенные исследования показали, что учет процесса диссоциации приводит к необходимости отказа от традиционной схемы, когда давление за отраженной УВ полагается постоянным, не зависящим от времени. Этот установленный факт [7, 8] позволил авторам [9] получить экспериментально обоснованные значения констант скоростей диссоциации азота.